

سنتز و بررسی ویژگی‌های خواص ساختاری، نوری و مغناطیسی نانوکامپوزیت‌های $\text{ZnO}/\text{Fe}_2\text{O}_3$

مائده سعیدی، محمد ابراهیم قاضی*، مرتضی ایزدی فرد

دانشکده فیزیک و مهندسی هسته‌ای دانشگاه صنعتی شاهرود، شاهرود، ایران

(دریافت مقاله: ۱۴۰۱/۱۱/۳۰، نسخه نهایی: ۱۴۰۲/۱/۲۸)

چکیده: در این پژوهش، نمونه‌های پودری ZnO ، $\alpha\text{-Fe}_2\text{O}_3$ و نانوکامپوزیت‌های $\text{ZnO}/\text{Fe}_2\text{O}_3$ با نسبت وزنی ZnO به Fe_2O_3 برابر با (۱:۵)، (۱:۱) و (۱:۲) به روش گرمایی تهیه و سپس ویژگی‌های ساختاری، نوری و مغناطیسی آنها بررسی شد. نتایج بررسی الگوهای پراش پرتو (XRD) نمونه‌ها تشکیل ساختار ششگوشی اکسید روی و اکسید آهن را تأیید کردند. بررسی طیف جذبی نمونه‌های سنتز شده نشان داد که نانوکامپوزیت $\text{ZnO}/\text{Fe}_2\text{O}_3$ جذب را در ناحیه مرئی افزایش داده و از این رو مقدار گاف نواری آن نسبت به اکسید روی کاهش و نسبت به اکسید آهن افزایش می‌یابد. تصاویر میکروسکوپ الکترونی روبشی گسیل میدانی (FESEM) نشان دادند که نانوذرات کروی Fe_2O_3 روی سطح نانورقه‌های ZnO قرار گرفته‌اند. نتایج مغناطیس سنج نمونه ارتعاشی (VSM) نشان دادند که ZnO خالص دارای ویژگی غالب دیامغناطیسی و $\alpha\text{-Fe}_2\text{O}_3$ دارای ویژگی‌های فرومغناطیس نرم هستند و در نانوکامپوزیت‌های تهیه شده، با افزایش غلظت Fe_2O_3 مقدار مغناطش افزایش می‌یابد. به‌طور کلی نتایج این تحلیل‌ها نشان دادند که اندازه ذرات، ویژگی‌های نوری و ویژگی‌های مغناطیسی نانوکامپوزیت‌های $\text{ZnO}/\text{Fe}_2\text{O}_3$ به شدت به غلظت $\alpha\text{-Fe}_2\text{O}_3$ بستگی دارند.

واژه‌های کلیدی: روش گرمایی؛ نانوکامپوزیت $\text{ZnO}/\text{Fe}_2\text{O}_3$ ؛ ویژگی‌های مغناطیسی؛ ویژگی‌های نوری؛ ویژگی‌های ساختاری.

مقدمه

ZnO باعث شده است که این ماده در صنایع الکترونیکی و اپتوالکترونیکی کاربرد فراوانی داشته باشد. اکسید روی به دلیل عیوب ذاتی ناشی از وجود تهی‌جای اکسیژن و Zn درون شبکه‌ای، نیم‌رسانای نوع n است [۳]. این نیم‌رسانا پایداری شیمیایی و گرمایی بالا دارد که آن را به یک ماده جذاب برای کاربردهای گسترده‌ای چون سلول‌های خورشیدی، باتری، ابر-خازن‌ها، فوتوکاتالیزور، زیست پزشکی، حسگرهای زیستی، پیزوالکتریک و اپتوالکترونیک در قالب بلور حجیم، لایه نازک و نانو ساختار تبدیل کرده است [۲]. ZnO در سه فاز ورتزیت ($B4$)، بلند روی و سنگ نمکی (NaCl) متبلور می‌شود که در فشار و دمای محیط، دارای ساختار ورتزیت است. ساختار ورتزیت شبکه ششگوشی از گروه فضایی $P6_3mc$ است و با دو زیرشبکه متصل به هم Zn^{2+} و O^{2-} مشخص می‌شود، به‌طوری

طراحی و سنتز مواد کامپوزیتی در مقیاس نانو، با استفاده ترکیب‌هایی از فلزها، اکسیدهای فلزی، کالکوئیدها و دگرشکل‌های کربن برای کاربرد در زمینه‌های مختلف توجه بسیاری را به خود جلب کرده است. در میان اکسیدهای فلزی، نیم‌رساناهایی چون اکسید روی (ZnO) با توجه به ویژگی‌های نوری، الکترونیکی و پیزوالکتریکی بی‌مانند، موضوع پژوهش‌های فراوانی بوده اند [۱]. اکسید روی به دلیل داشتن گاف نواری مستقیم و پهن (حدود 3.37 eV در دمای اتاق)، انرژی بستگی اکسیتونی بالا (60 meV)، ساختار غیرمتمقارن مرکزی و سهولت سنتز به عنوان یکی از مهم‌ترین مواد نیم‌رسانای گروه ترکیب‌های II-VI در پژوهش‌های علمی و کاربردهای فناوری شناخته شده است [۲]. گاف نواری پهن و انرژی اکسیتونی بالای

*نویسنده مسئول، تلفن: ۰۲۳۳۲۳۹۵۲۷۰، نمابر: ۰۲۳۳۲۳۹۵۲۷۰، پست الکترونیکی: mghazi@shahroodut.ac.ir

ZnO که هر یون Zn با یک چاروجهی از یون های O در برگرفته شده و عکس این موضوع نیز برقرار است [۴]. در بسیاری از وسایل الکترونیکی و اپتیکی چون فوتوکاتالیزورها، دیودهای نورگسیل، آشکارسازهای UV و لیزرهای نوری استفاده شده است؛ با این حال باز ترکیب الکترون - حفره در آن سریع است و به دلیل گاف نواری پهن، در گستره تابش نور مرئی عملکرد ضعیفی دارد. برای نمونه می توان عملکرد فوتوکاتالیزوری، فوتوالکتروشیمیایی و دیودهای نوری اکسید روی در گستره طول موج فرابنفش اشاره کرد [۵-۷]. افزون بر این، جداسازی فوتوکاتالیزور از سامانه های مورد تصفیه کاربرد گسترده آن را نیز محدود می سازد. ترکیب اکسید روی با نیم رساناهای دیگر (تشکیل کامپوزیت) از روش های بهبود یا تغییر ویژگی های فیزیکی (چون تغییر ویژگی های نوری، تغییر ویژگی های الکتریکی و ایجاد ویژگی مغناطیسی) بشمار می آید. پژوهش ها نشان داده است که از میان نیم رساناهای مختلف، اکسید آهن (Fe_2O_3) به دلیل ویژگی های برجسته و کاربردی گزینه مناسبی برای این منظور است [۵، ۸، ۹]. اکسید آهن (Fe_2O_3) در مقیاس نانو از جمله مواد مغناطیسی اکسید فلزهای واسط است که به دلیل غیرسمی بودن، کم هزینه بودن، فراوانی، پایداری گرمایی و شیمیایی در دمای محیط و سازگاری با محیط زیست توجه جامعه علمی را به خود جلب کرده است. این نانوذرات بسته به تناسب عنصری ممکن است در فازهای بلوری متفاوتی باشند که اغلب نانوذرات اکسید آهن مورد بررسی $\alpha\text{-Fe}_2\text{O}_3$ ، $\gamma\text{-Fe}_2\text{O}_3$ و Fe_3O_4 هستند و ویژگی های فیزیکی و شیمیایی آن ها به اندازه، ریختار سطحی و ساختار آن ها بستگی دارد. این ترکیب ها اغلب به رنگ های قرمز تیره، قهوه ای و مشکی هستند و در زمینه های بسیاری چون ساخت رنگدانه ها، کاتالیزورها، حسگرها، دستگاه های مغناطیسی و زیست پزشکی استفاده می شوند [۱۰]. در میان ترکیب های اکسید آهن، فاز هماتیت ($\alpha\text{-Fe}_2\text{O}_3$) از نظر ترمودینامیکی تا دمای 1457°C و همچنین از نظر شیمیایی در مقادیر pH بالا پایدار بوده و بنابراین پایداری فاز از اکسید های آهن است [۱۱]. متداول ترین راه های تولید نانوذرات هماتیت، رسوب شیمیایی، سنتز گرمایی و فرآیند سل-ژل هستند. این نانوذرات را می توان با تکلیس ترکیب نانوذرات اکسید آهن در دمای میانی (حدود 500°C) به دست آورد [۱۲]. این نیم رسانای اکسید فلزی به طور ذاتی از نوع n، دارای

ضریب شکست بالا و گاف نواری به نسبت کوچک (حدود 1.9 eV تا 2.2 eV) است که توانایی جذب نور در ناحیه مرئی (حدود لبه جذب 600 nm) را دارد [۱۳]. هماتیت می تواند رفتار فرومغناطیس یا ابرپارامغناطیس را در دمای اتاق از خود نشان دهد [۵]. به طور کلی، ترکیب کردن ZnO با نیم رساناهایی با گاف نواری متفاوت از جمله Fe_2O_3 مزایایی چون تشکیل پیوندگاه نامتجانس n-n، کاهش امکان تشکیل تهی جای اکسیژن در شبکه، کاهش باز ترکیب الکترون - حفره و همچنین کاهش گاف نواری دارد که فعالیت و گستره جذب نوری را افزایش می دهد [۱۴-۱۸]. افزون بر آن، ترکیب نانو-ساختارهایی چون اکسید روی با مواد مغناطیسی و تولید نانوذرات کامپوزیتی مغناطیسی به بازیافت آن ها با استفاده از میدان مغناطیسی خارجی کمک می کند. این ترکیب منجر به نسل جدیدی از فوتوکاتالیزورها می شود که به عنوان فوتوکاتالیزور جداپذیر شناخته می شوند [۱۹]. نانوکامپوزیت های $\text{ZnO/Fe}_2\text{O}_3$ تهیه شده با روش های مختلفی از جمله هم رسوبی [۲۰]، گرمایی [۱۸] و سل-ژل [۲۱] برای کاربردهای گوناگون از چون فوتوکاتالیزورها، حسگرهای گازی، فوتوالکتروشیمیایی، دستگاه تبدیل انرژی، سلول های خورشیدی، مواد مغناطیسی و زیست پزشکی بررسی شده اند [۲۲].

بیشتر پژوهش های انجام شده در مورد این کامپوزیت سنتز آن به منظور استفاده به عنوان فوتوکاتالیزور [۳، ۷، ۲۳، ۲۴] و یا کاربرد آن در تصفیه آب [۲۵] بوده است. در همه این موارد، غلظت اکسید آهن در کامپوزیت پایین بوده و برای غلظت های بالا گزارشی منتشر نشده است.

در این پژوهش، از اتصال ناهمگون اکسید روی با اکسید آهن به منظور بهبود ویژگی های فیزیکی نسبت به نانو ساختار اکسید روی خالص استفاده شد. در این جا با سنتز نانوکامپوزیت ها با نسبت های وزنی مختلف، ویژگی های فیزیکی آنها به ویژه ویژگی های نوری و مغناطیسی بررسی گردید. از این رو، در این پژوهش افزون بر بررسی ویژگی های نانوکامپوزیت ها، مقایسه نتایج با اکسید روی خالص و اکسید آهن خالص انجام شده است. در این جا نمونه های $\alpha\text{-ZnO}$ و Fe_2O_3 و نانوکامپوزیت های $\text{ZnO/Fe}_2\text{O}_3$ با سه نسبت ترکیب وزنی متفاوت Fe_2O_3 به روش گرمایی تهیه و سپس ویژگی های ساختاری، ریختاری، نوری و مغناطیسی آنها بررسی شد.

بخش آزمایشگاهی

سنتز ZnO , Fe_2O_3 , $\text{ZnO}/\text{Fe}_2\text{O}_3$

سنتز گرمایی روش بی‌مانندی برای بلوری کردن مواد از محلول‌های آبی با دمای بالا در فشار بخار بالاست. در اصل در این روش، یک ماده نامحلول (ناهمگن) در دمای محیط را می‌توان در دما و فشار بالا (دماهای بیش از 100°C و فشار بالای یک اتمسفر) حل کرده و بازمتبلور کرد. رشد بلور در دستگاهی شامل یک مخزن فشار از جنس فولاد به نام اتوکلاو که درون آن یک ظرف تفلونی قرار می‌گیرد، انجام می‌شود.

برای تهیه نمونه پودری اکسید آهن نخست، 3°C گرم نیترات آهن نه آبه در 40 ml آب یون‌زدایی شده با همزن مغناطیسی با سرعت 400 دور بر دقیقه به مدت 20 دقیقه در دمای محیط هم خورد و محلول 0.1 مولار تهیه شد. سپس 1 گرم هیدروکسید سدیم در 30 ml آب یون‌زدایی شده به مدت 20 دقیقه هم‌زده شد. از آن، پس محلول هیدروکسید سدیم 0.8 مولار با قطره چکان به آرامی به محلول نیترات آهن نه آبه اضافه و مرتب هم زده شد تا pH آن به حدود 7 برسد. محلول تهیه شده به اتوکلاو با روکش تفلون منتقل شد و برای 5 ساعت درون کوره محفظه‌ای با دمای 120°C قرار گرفت. سپس اتوکلاو در دمای محیط سرد و به‌منظور خروج نمک و دیگر ناخالصی‌ها، چند بار با آب یون‌زدایی شده و اتانول شستشو و در دمای اتاق خشک شد. سرانجام رسوب بدست آمده در دمای 500°C به مدت 3 ساعت در کوره لوله‌ای بازپخت گردید [۲۲].

برای تهیه نمونه پودری ZnO ، نخست مقدار مشخصی استات روی دو آبه در آب یون‌زدایی شده به مدت 20 دقیقه در معرض امواج فراصوت پراکنده شد و محلول 0.3 مولار استات روی دوآبه آماده گردید. سپس اوره به مقدار کافی برای تنظیم pH (حدود 7) به این محلول اضافه و با همزن مغناطیسی با سرعت 400 دور بر دقیقه در دمای محیط هم‌زده شد. محلول شفاف به دست آمده در اتوکلاو با روکش تفلون ریخته شد. اتوکلاو به مدت 5 ساعت درون کوره محفظه‌ای با دمای 120°C قرار گرفت. سپس اتوکلاو در دمای محیط سرد و به‌منظور خروج نمک و دیگر ناخالصی‌ها چند بار با آب یون‌زدایی شده و اتانول شستشو و در دمای اتاق خشک شد. سرانجام رسوب بدست آمده در دمای 500°C به مدت 3 ساعت در کوره لوله‌ای بازپخت گردید [۲۶].

برای تهیه نانوکامپوزیت $\text{ZnO}/\text{Fe}_2\text{O}_3$ با نسبت وزنی $(5/50)$: (۱)، (۱:۱) و (۱:۲)، نانوذرات ZnO (بازپخت نشده) و نیترات آهن 9 آبه در 40 ml آب به مدت 20 دقیقه در حمام فراصوت قرار گرفتند و مراحل بیان شده تکرار شد. به‌منظور تهیه نمونه نانوکامپوزیت با نسبت ترکیب یکسان (۱:۱)، مقدار 1 گرم پودر ZnO بازپخت نشده و 1 گرم پودر نیترات آهن 9 آبه در 40 میلی لیتر آب یون‌زدایی شده به مدت 20 دقیقه در حمام فراصوت قرار گرفت و شرایط سنتز تکرار شد. سرانجام رسوب به دست آمده به مدت 3 ساعت در کوره لوله‌ای با دمای 500°C بازپخت گردید. با توجه به نسبت‌های وزنی، نمونه‌های نانوکامپوزیت تهیه شده به ترتیب $\text{ZF}(1:1)$ ، $\text{ZF}(1:50)$ و $\text{ZF}(1:2)$ نامگذاری شدند.

روش‌های مشخصه‌یابی

برای بررسی ویژگی‌های ساختاری نمونه‌های پودری سنتز شده به روش گرمایی، الگوهای پراش پرتوی ایکس (XRD) آن‌ها با پاش سنج مدل X'Pert Pro با پرتوی $\text{Cu-K}\alpha$ با طول موج 1.5404 \AA در گستره زاویه‌ای $2\theta = 10^\circ - 80^\circ$ با اندازه گام 0.05° و زمان روبش 15 در دمای اتاق ثبت گردید. به منظور بررسی ریختار نمونه‌ها، تصاویر میکروسکوپی الکترونی روبشی گسیل میدان (FESEM) نمونه‌های پودری با دستگاه مدل Sigma 300- HV Shimadzo تهیه شد. برای بررسی ویژگی‌های نوری نمونه‌ها، طیف جذب آن‌ها با طیف‌سنج مدل ۱۸۰۰ Shimadzo در ناحیه مرئی-فرابنفش و طیف‌های نورتایی (PL) با طیف سنج فلئوئورسانس Shimadzo RF ۶۰۰۰ ثبت شدند. ویژگی‌های مغناطیسی نمونه‌ها نیز با مغناطیس‌سنج نمونه ارتعاشی (VSM) اندازه‌گیری شد.

بحث و بررسی

ویژگی‌های ساختاری

الگوهای پراش پرتو X نمونه‌های نانوکامپوزیت با نسبت‌های وزنی $\text{ZF}(1:2)$ ، $\text{ZF}(1:1)$ ، $\text{ZF}(0.1:5)$ و همچنین نانوذرات ZnO و Fe_2O_3 خالص سنتز شده به روش گرمایی در شکل ۱ نشان داده‌است. در این الگوها، قله‌های پراش از صفحه‌های (۱۰۰)، (۰۰۲)، (۱۰۱)، (۱۰۲)، (۱۱۰)، (۱۰۳)، (۲۰۰)، (۱۱۲)، (۲۰۱) مطابق با کارت استاندارد شماره ۰۵۷۶-۰۷۵-۰۱ تشکیل ساختار ورتزیت ZnO با ثابت شبکه 3.2427 \AA ، $a=b=5.1948 \text{ \AA}$ و $c=5.1948 \text{ \AA}$ و همچنین قله‌های پراش از صفحه‌های (۱۱۰)، (۱۰۲)، (۱۱۶)، (۲۱۴)، (۳۰۰) و (۱۱۹) مطابق

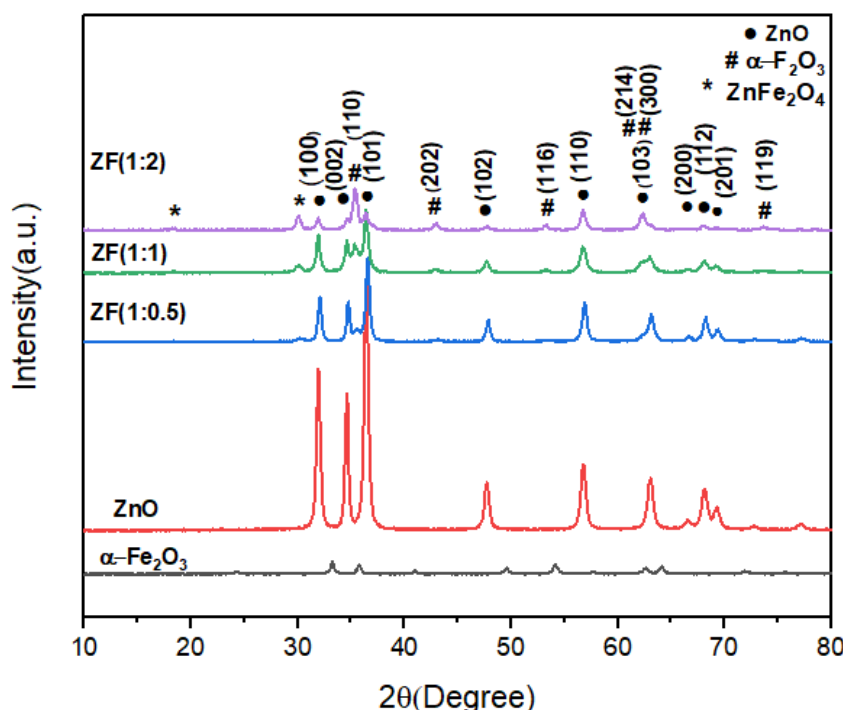
با β ، پهنای قله پراش در نیم ارتفاع بیشینه و θ زاویه پراش است. نمودارهای ویلیامسون-هال در شکل ۲ نشان داده شده‌اند. برای رسم این نمودارها از چهار قله پراش از صفحه‌های (۱۰۰)، (۰۰۲)، (۱۰۱) و (۲۲۱) مربوط به نمونه ZnO و سه قله پراش از صفحه‌های (۱۰۰)، (۱۱۱) و (۲۰۰) مربوط به نمونه Fe_2O_3 استفاده شد. مقادیر بدست آمده برای اندازه متوسط بلورک‌ها و نیز کرنش میکروسکوپی شبکه در جدول ۱ گزارش شده‌اند. گفتنی است که کرنش مثبت و منفی به ترتیب بیانگر انبساط و انقباض شبکه بلوری هستند. با افزایش غلظت اکسید آهن در نانوکامپوزیت‌ها اندازه متوسط بلورک‌های ZnO کاهش و اندازه متوسط بلورک‌های $\alpha\text{-Fe}_2\text{O}_3$ افزایش می‌یابد که این امر با تغییرات کرنش‌های میکروسکوپی بدست آمده همخوانی دارد. کاهش کرنش شبکه بلوری را می‌توان به عواملی از جمله کاهش نقص‌های بلوری چون دررفتگی‌ها و مرزدانه‌ها نسبت داد. کرنش‌های میکروسکوپی بدست آمده از منحنی‌های ویلیامسون-هال برای هر سه نانوکامپوزیت با نسبت‌های متفاوت منفی است، که بیانگر تراکمی بودن نوع کرنش در ساختار بلوری ZnO است. نمونه $\alpha\text{-Fe}_2\text{O}_3$ بزرگترین اندازه بلورک را در مقایسه با نمونه‌های دیگر دارد.

با کارت استاندارد شماره ۰۱-۰۷۲-۰۴۶۹ تشکیل ساختار ششگوشی Fe_2O_3 در فاز هماتیت با ثابت شبکه $a=b=5.0380 \text{ \AA}$ و $c=13.7720 \text{ \AA}$ را تأیید می‌کنند [۲۸، ۲۷]. در الگوهای پراش نانوکامپوزیت‌ها، افزون بر قله‌های ساختارهای ورتزیت ZnO و شش گوشی هماتیت، دو قله پراشی ضعیف در زوایای حدود 18.2° و 28.9° آشکار شدند که مربوط به تشکیل فاز ناخالصی فریت روی (ZnFe_2O_4) مطابق با کارت استاندارد شماره ۰۰-۰۰۱-۱۱۰۸ هستند. مقایسه الگوی XRD نمونه‌های نانوکامپوزیت نشان می‌دهد که با افزایش مقدار Fe_2O_3 بلورینگی ZnO کاهش و بلورینگی Fe_2O_3 به دلیل رشد بلورک‌ها و افزایش تبلور افزایش می‌یابد.

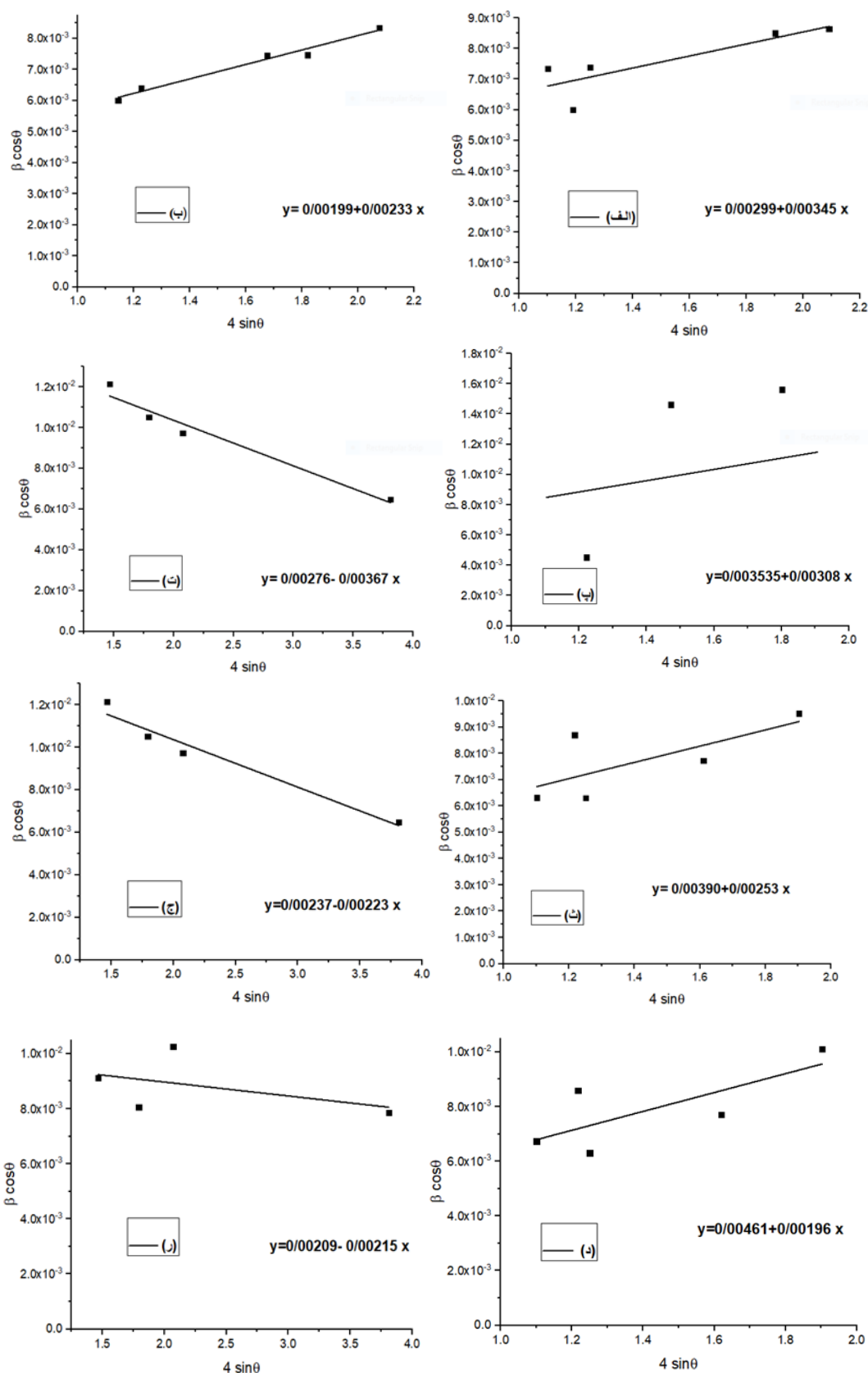
با استفاده از رابطه ویلیامسون-هال (رابطه ۱) و با رسم منحنی $\beta \cos \theta$ نسبت به $4 \sin \theta$ و برازش خطی نقاط به دست آمده، می‌توان اندازه متوسط بلورک‌ها (D) و کرنش میکروسکوپی (ϵ) ناشی از جابجایی یاخته یک شبکه بلوری نمونه‌های سنتز شده را برآورد کرد [۱۴]:

$$\beta \cos \theta = \frac{K\lambda}{D} + 4\epsilon \sin \theta \quad (1)$$

که در این رابطه، K برابر با ۰٫۹، λ طول موج پرتو ایکس برابر



شکل ۱ الگوهای XRD نمونه‌های $\alpha\text{-Fe}_2\text{O}_3$ ، ZnO و نانوکامپوزیت‌های $\text{ZnO}/\alpha\text{-Fe}_2\text{O}_3$ (۱:۰/۵)، $\text{ZnO}/\alpha\text{-Fe}_2\text{O}_3$ (۱:۱) و $\text{ZnO}/\alpha\text{-Fe}_2\text{O}_3$ (۱:۲).



شکل ۲ نمودارهای ویلیامسون-هال رسم شده برای نمونه‌های (الف) ZnO خالص، (ب) $\alpha\text{-Fe}_2\text{O}_3$ خالص، (پ) و (ت) نانوکامپوزیت‌های (۵/۰):ZF(۱)، ZF(۱):ZF(۲) (ج) و (چ) و ZF(۱):ZF(۳) (د) و (ذ).

جدول ۱ داده‌های به دست آمده از طیف‌های پراش پرتو ایکس نمونه‌های ZnO ، $\alpha\text{-Fe}_2\text{O}_3$ و کامپوزیت‌های $\text{ZnO/Fe}_2\text{O}_3$

نمونه		اندازه متوسط بلورک (nm)	کرنش ($\times 10^{-3}$)
ZnO		۴۳,۶(۸)	۰,۸۶۲(۸)
ZF(۱:۰,۵)	ZnO	۴۱,۳(۴)	۰,۷۷۰(۸)
	$\alpha\text{-Fe}_2\text{O}_3$	۵۰,۲(۳)	-۰,۹۱۷(۹)
ZF(۱:۱)	ZnO	۳۵,۵ (۴)	۰,۶۳۲(۳)
	$\alpha\text{-Fe}_2\text{O}_3$	۵۸,۶ (۵)	-۰,۵۵۷(۵)
ZF(۱:۲)	ZnO	۳۰,۰ (۲)	۰,۴۹۰(۵)
	$\alpha\text{-Fe}_2\text{O}_3$	۶۶,۳(۶)	-۰,۵۳۷(۲)
$\alpha\text{-Fe}_2\text{O}_3$		۶۹,۶(۷)	۰,۵۸۲(۵)

ریختار نمونه‌ها

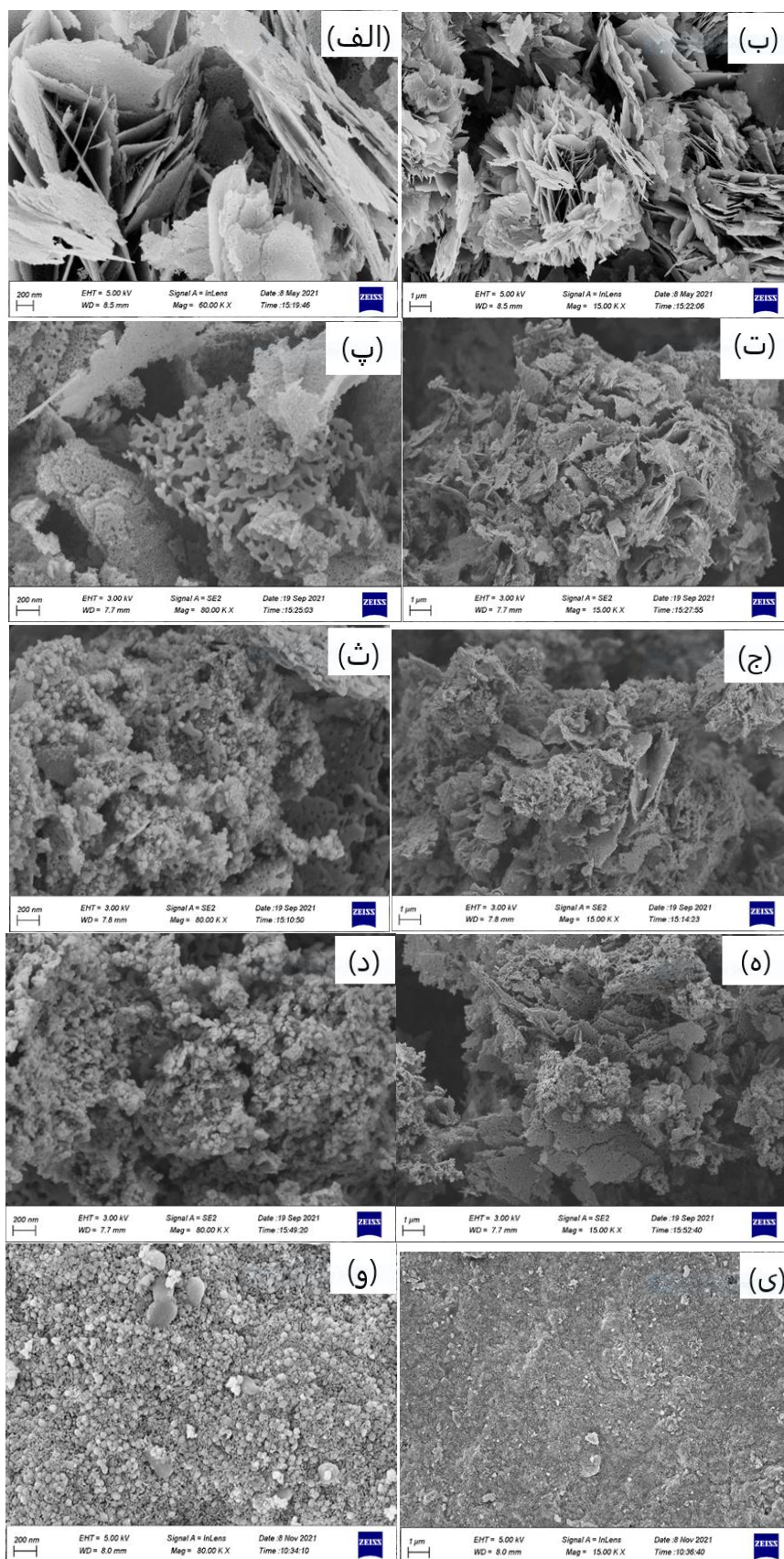
تصاویر FESEM از سطح نمونه‌های پودری در دو مقیاس nm ۲۰۰ و ۱ μm در شکل ۳ آورده شده است. دیده می‌شود که ریختار ZnO شامل نانورقه‌های با ضخامت متوسط حدود ۲۶ نانومتر (شکل ۳ الف) و ریختار Fe_2O_3 شامل ذرات تقریباً کروی با قطر متوسط حدود ۴۰ نانومتر (شکل ۳ خ) بوده که دارای بیشترین اندازه دانه در مقایسه با نمونه‌های دیگر است. شکل‌های ۳ پ، ج و چ به ترتیب تصاویر نانوکامپوزیت‌های $\text{ZF}(۱:۰,۵)$ ، $\text{ZF}(۱:۱)$ و $\text{ZF}(۱:۲)$ را نشان می‌دهند که گویای قرارگیری نانوذرات تقریباً کروی $\alpha\text{-Fe}_2\text{O}_3$ بر سطح نانورقه‌های ZnO هستند. هر چه نسبت $\alpha\text{-Fe}_2\text{O}_3$ در نمونه‌های نانوکامپوزیت بیشتر شود، متوسط اندازه دانه در مقایسه با نانورقه‌های ZnO خالص افزایش می‌یابد، به طوری که در نمونه $\text{ZF}(۱:۲)$ ، اندازه متوسط دانه حدود ۳۸ نانومتر است. در واقع با افزایش نسبت اکسید آهن، انباشت نانوذرات شبه کروی روی سطح نانو ورقه‌ها افزایش می‌یابد [۱۷].

ویژگی‌های نوری

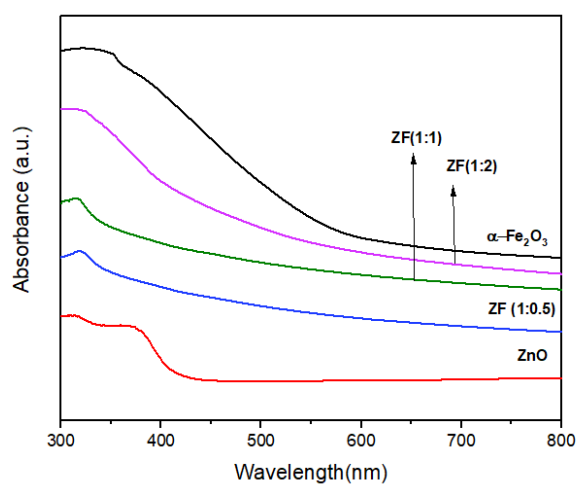
شکل ۴ طیف‌های جذب (A) نمونه‌های ZnO ، $\alpha\text{-Fe}_2\text{O}_3$ خالص و همچنین نانوکامپوزیت‌های $\text{ZnO/Fe}_2\text{O}_3$ سنتر شده با نسبت‌های وزنی مختلف $\alpha\text{-Fe}_2\text{O}_3$ را در دمای اتاق نشان می‌دهد. لبه جذب در نمونه ZnO خالص حدود ۴۰۰ نانومتر و در نمونه $\alpha\text{-Fe}_2\text{O}_3$ حدود ۶۶۰ نانومتر است که نشان می‌دهد که نمونه‌ها قادر به جذب نور مرئی هستند. در این شکل دیده می‌شود که نمونه‌ها پس از ترکیب و تشکیل نانوکامپوزیت

$\text{ZnO/Fe}_2\text{O}_3$ جذب نوری بیشتری در مقایسه با نمونه اکسید روی خالص دارند و لبه‌های جذب به سمت طول موج‌های بزرگتر منتقل شده‌اند. این جابجایی قرمز با افزایش مقدار $\alpha\text{-Fe}_2\text{O}_3$ افزایش می‌یابد. این امر نشان می‌دهد که حضور فاز اکسید آهن و تشکیل نانوکامپوزیت $\text{ZnO/Fe}_2\text{O}_3$ به‌طور موثر لبه جذب را در ناحیه مرئی گسترش می‌دهد. این نتیجه با دیگر گزارش‌ها همخوانی خوبی دارد [۲۳، ۱۸].

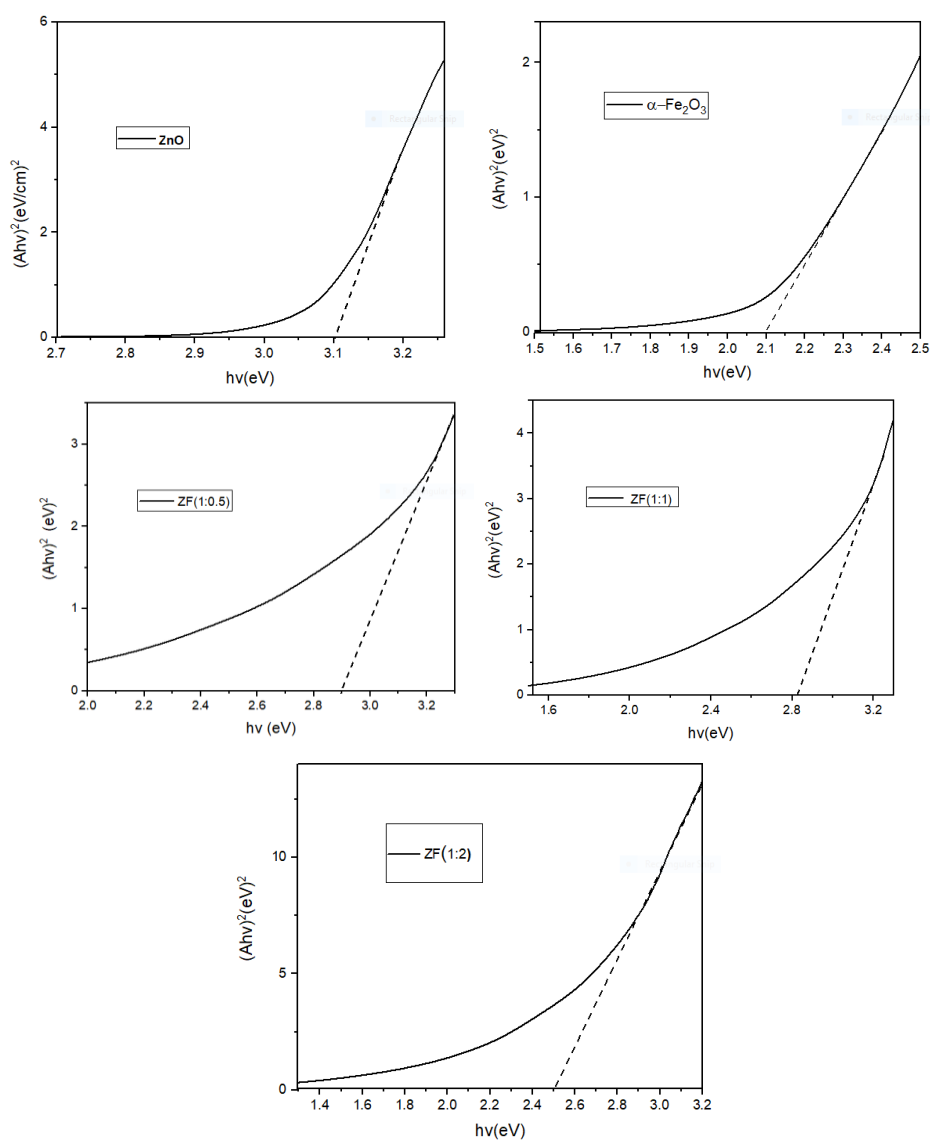
براساس داده‌های جذب (A)، نمودارهای $(Ah\nu)^2$ نسبت به انرژی فوتون $(h\nu)$ برای نمونه‌ها رسم شد (شکل ۵) و برای تعیین گاف انرژی نمونه‌ها (E_g)، از رابطه تاوک استفاده شد.
$$(Ah\nu)^m = K(h\nu - E_g) \quad (2)$$
 در این K ضریب ثابت است و m با توجه به گاف مستقیم و یا غیرمستقیم به ترتیب مقدارهای ۲ و ۰,۵ دارد. مقدار گاف انرژی مستقیم از برازش خط مماس بر نمودار $(Ah\nu)^2$ نسبت به $h\nu$ و محل برخورد آن با محور $h\nu$ بدست می‌آید (شکل ۵). گاف نواری برای نمونه ZnO برابر با ۳,۱ eV، برای Fe_2O_3 برابر با ۲,۱ eV و برای نانو کامپوزیت‌های $\text{ZF}(۱:۰,۵)$ ، $\text{ZF}(۱:۱)$ و $\text{ZF}(۱:۲)$ به ترتیب برابر با ۲,۹، ۲,۷ و ۲,۵ eV برآورد شدند. از آنجا که ZnO دارای گاف نواری بزرگتری (حدود ۳,۱ eV) نسبت به $\alpha\text{-Fe}_2\text{O}_3$ (حدود ۲,۱ eV) است، چنان که انتظار می‌رود با تشکیل و افزایش غلظت $\alpha\text{-Fe}_2\text{O}_3$ در کامپوزیت، گاف نواری کامپوزیت $\text{ZnO/Fe}_2\text{O}_3$ کاهش می‌یابد. البته بدلیل حضور ZnO در ترکیب، گاف نانوکامپوزیت همچنان از گاف نواری $\alpha\text{-Fe}_2\text{O}_3$ بزرگتر است [۲۹، ۱۷، ۱۵].



شکل ۳ تصاویر FESEM مربوط به نمونه‌های پودری (الف و ب) ZnO، (پ و ت) $ZF(1/5)$ ، (ث و ج) $ZF(1/1)$ ، (چ و ح) $ZF(1/2)$ ، (خ و د) α -Fe₂O₃ در دو مقیاس ۲۰۰ nm و ۱ μ m.



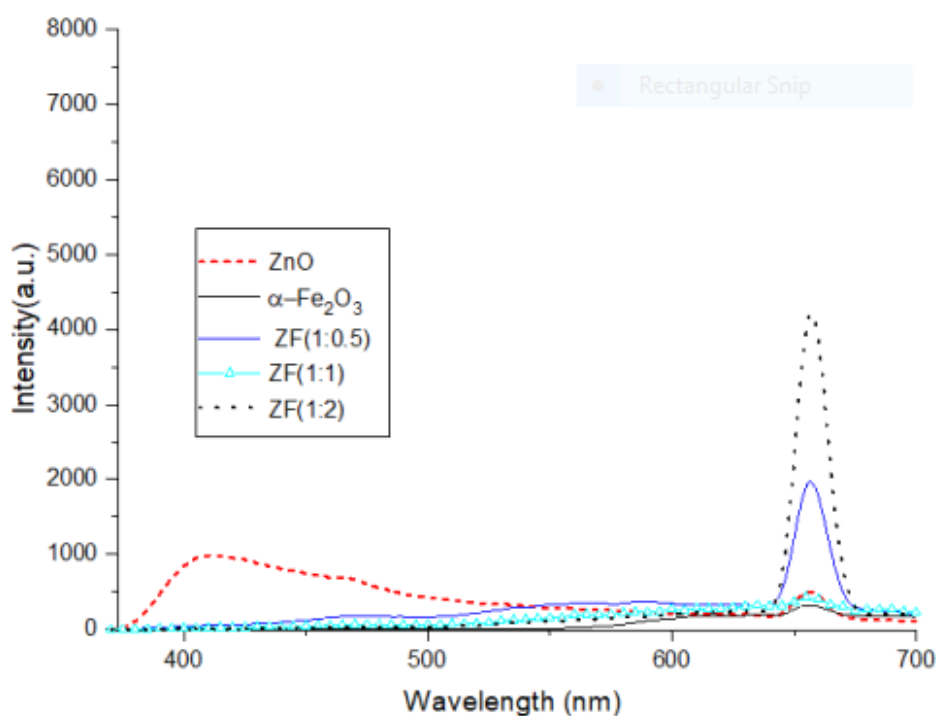
شکل ۴ طیف‌های جذب نمونه‌های ZnO، $\alpha\text{-Fe}_2\text{O}_3$ و نانوکامپوزیت‌های با درصدهای وزنی مختلف $\text{ZnO/Fe}_2\text{O}_3$



شکل ۵ نمودار $(Ahv)^2$ نسبت به $h\nu$ برای محاسبه گاف نواری مستقیم نمونه‌ها.

۶۳۰-۷۳۰ nm افزایش یافته است. کاهش شدت قله‌های نورتایی در نمونه‌های کامپوزیتی در گستره ۴۵۰-۵۵۰ nm را می‌توان به کاهش گذارهای بین نواری در ساختار ZnO حضور نانوبلور $\alpha\text{-Fe}_2\text{O}_3$ و تشکیل نانوکامپوزیت ZnO/Fe₂O₃ مربوط دانست. با توجه به نتایج گزارش شده در جدول ۱، کاهش کرنش شبکه بلوری همراه با کاهش اندازه نانوبلورک-های $\alpha\text{-Fe}_2\text{O}_3$ در کامپوزیت ZF (۱:۲) را می‌توان علت افزایش قابل توجه قله طیف نورتایی این نمونه در گستره ۶۳۰-۷۳۰ nm نیز شاهد افزایش قابل توجه این قله نسبت به قله متناظر در نانوکامپوزیت ZF (۱:۱) هستیم. اگرچه در این نانوکامپوزیت، اندازه بلورک‌های $\alpha\text{-Fe}_2\text{O}_3$ به‌طور قابل توجهی نسبت به مقدار متناظر در کامپوزیت‌های دیگر کاهش یافته اما کرنش تراکمی در این نمونه نسبت به نانوکامپوزیت‌های دیگر به‌طور قابل توجهی افزایش داشته است که این می‌تواند علت کاهش قله ناحیه مرئی این نمونه نسبت به نمونه ZF (۱:۲) باشد.

به‌منظور بررسی بیشتر ویژگی‌های نوری، طیف‌های PL نمونه‌های ZnO، $\alpha\text{-Fe}_2\text{O}_3$ و همچنین نانوکامپوزیت‌های ZnO/Fe₂O₃ تهیه شده با نسبت‌های وزنی مختلف با طول موج تحریک ۳۳۰ nm در دمای اتاق ثبت شدند (شکل ۶). در طیف PL نمونه ZnO خالص، یک قله گسیل پهن در گستره فرابنفش (حدود ۴۱۵ nm) و یک قله نیز در ناحیه مرئی (حدود ۶۶۰ nm) دیده می‌شود. قله موجود در ناحیه فرابنفش به گذارهای اکسیتونی بین‌نواری در نزدیکی گاف نواری اکسید روی و قله در ناحیه مرئی به نواقص بلوری در ساختار اکسید روی نسبت داده می‌شوند [۳۰]. افزون بر آن در نمونه Fe₂O₃ $\alpha\text{-}$ ، قله گسیل در طول موج حدود ۶۶۰ nm دیده می‌شود که می‌توان آن را به گذارهای لبه نواری مربوط دانست. این گذارها در طیف‌های نورتایی نمونه‌های نانوبلور $\alpha\text{-Fe}_2\text{O}_3$ گزارش شده‌اند [۳۱]. از مقایسه طیف‌های نورتایی نانوکامپوزیت‌ها دیده می‌شود که با افزایش مقدار Fe₂O₃، شدت قله‌ها نسبت به نمونه اکسید روی خالص (غیرکامپوزیت) در گستره ۴۵۰-۵۵۰ nm (ناحیه مرئی) کاهش و در گستره



شکل ۶ طیف‌های نورتایی نمونه‌های ZnO، $\alpha\text{-Fe}_2\text{O}_3$ و ZnO/Fe₂O₃ با درصدهای وزنی مختلف. شکل ضمیمه گستره طول موجی ۴۰۰-۶۵۰ برای کامپوزیت‌ها را نشان می‌دهد.

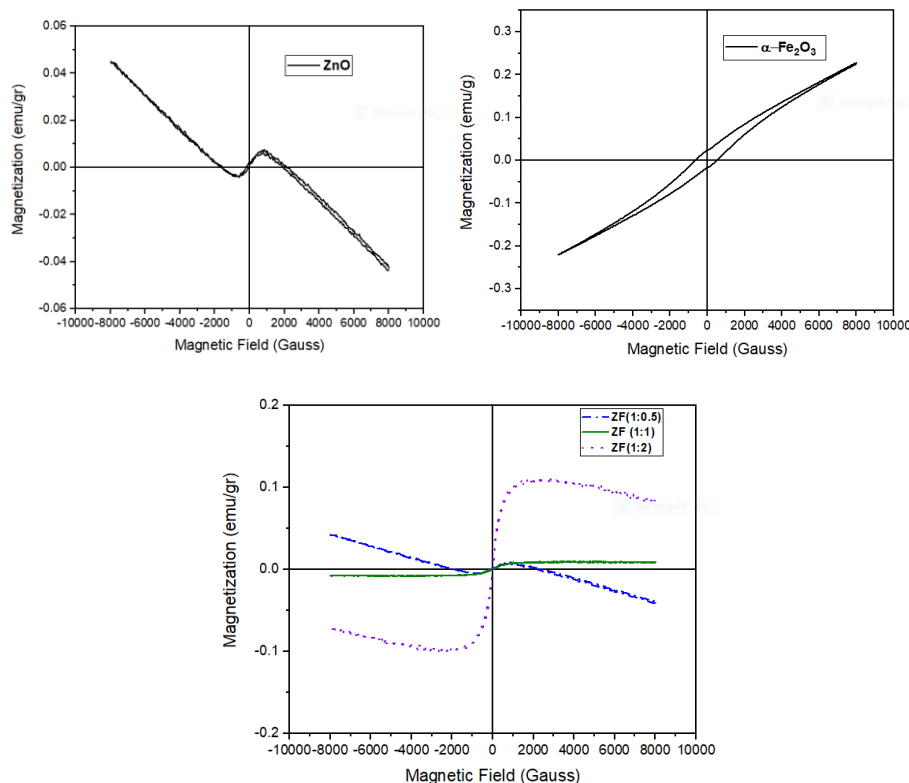
ویژگی‌های مغناطیسی

منحنی‌های پسماند مغناطیسی نمونه‌های $\alpha\text{-Fe}_2\text{O}_3$, ZnO و همچنین نانوکامپوزیت‌های $\text{ZnO/Fe}_2\text{O}_3$ تهیه شده با درصدهای وزنی مختلف در میدان مغناطیسی اعمالی در گستره ۱۰۰۰۰ تا -۱۰۰۰۰ G در دمای اتاق ثبت شدند (شکل ۷). با توجه به شکل دیده می‌شود که ZnO خالص رفتار مغناطیسی دو مولفه‌ای شامل یک مولفه فرومغناطیسی ضعیف ناشی از وجود تهی‌جایها و یک مولفه دیامغناطیسی دارد، در حالی که نانوپودر $\alpha\text{-Fe}_2\text{O}_3$ خالص رفتار فرومغناطیسی ضعیف با مغناطش اشباع نشده را در گستره میدان اعمالی نشان می‌دهد که در با گزارش خزامی و همکاران همخوانی دارد [۲۵]. منحنی پسماند نانوکامپوزیت ZF(۱:۰.۵) رفتاری شبیه ZnO خالص و نانوکامپوزیت‌های ZF(۱:۱) و ZF(۱:۲) رفتار فرومغناطیسی نرم را در دمای اتاق نشان می‌دهند. به نظر می‌رسد که در نمونه نانوکامپوزیت ZF (۱:۰.۵) به دلیل نسبت

وزنی کم ترکیب اکسید آهن به اکسید روی، رفتار مغناطیسی اکسید روی غالب است، اما با افزایش غلظت $\alpha\text{-Fe}_2\text{O}_3$ در نانوکامپوزیت‌ها مقدار مغناطش افزایش می‌یابد [۳۲، ۸]. مقادیر مغناطش اشباع (M_s)، پسماند مغناطیسی (M_r) و میدان وارندگی (H_c) در جدول ۲ گزارش شده‌اند. با افزایش غلظت $\alpha\text{-Fe}_2\text{O}_3$ در نانوکامپوزیت‌ها، رفتار فرومغناطیسی و در پی آن مقادیر مشخصه‌های مغناطیسی (M_s , M_r و H_c) افزایش می‌یابند. علت این امر این است که در نمونه‌ها، درصد ترکیب مغناطیسی اکسید آهن در حال افزایش است. تغییر میدان وادارندگی نمونه‌ها ممکن است به دلیل تغییر در اندازه متوسط بلورک‌ها با افزایش غلظت اکسید آهن (جدول ۱) باشد. به‌طور کلی، افزایش اندازه نانوذرات $\alpha\text{-Fe}_2\text{O}_3$ باعث افزایش مغناطش در کامپوزیت‌ها و حضور آنها موجب بروز رفتار فرومغناطیسی در کامپوزیت است که این با گزارش‌های دیگر همخوانی دارد [۲۷].

جدول ۲ مقادیر ثابت‌های مغناطیسی به دست آمده از منحنی‌های پسماند مغناطیسی نمونه‌های $\alpha\text{-Fe}_2\text{O}_3$, ZF(۱:۱), ZF(۱:۲)

نمونه	M_s (emu.gr)	M_r (emu.gr)	H_c (G)
ZF(۱:۱)	۰.۰۰۸۷	۰.۰۰۱۱	۱۲۶.۰
ZF(۱:۲)	۰.۰۰۸۴۰	۰.۰۱۲۰	۱۵۰.۰
$\alpha\text{-Fe}_2\text{O}_3$	۰.۲۲۰۰	۰.۰۲۴۰	۵۷.۱



شکل ۷ منحنی‌های پسماند مغناطیسی نمونه‌های $\alpha\text{-Fe}_2\text{O}_3$, ZnO و نانوکامپوزیت‌های $\text{ZnO/Fe}_2\text{O}_3$

برداشت

thin films and nanostructures", Elsevier Science Ltd (2006) pp.1-20.

[5] Shekofteh-Gohari M., et al., "Magnetically separable nanocomposites based on ZnO and their applications in photocatalytic processes: a review", *Critical reviews in environmental science and technology*, 48(10-12) (2018) pp.806-857.

[6] Sharma D.K., et al. "A review on ZnO: Fundamental properties and applications", Elsevier, 49 (8), (2022) pp.3028-3035.

[7] Yu-Kuei Hsu et al., "Novel ZnO/Fe₂O₃ Core-Shell Nanowires for Photoelectrochemical Water Splitting", *ACS Applied Materials & Interfaces* 7 (25), pp. (2015) 14157-14162.

[8] Khezami L., et al., "Dependence of phase distribution and magnetic properties of milled and annealed ZnO/Fe₂O₃ nanostructures as efficient adsorbents of heavy metals", *Journal of Materials Science: Materials in Electronics*, 30(10) (2019) pp.9683-9694.

[9] Zhu W., et al., "Atomic structural evolution during the reduction of α -Fe₂O₃ nanowires", *The Journal of Physical Chemistry C*, 120(27), (2016) pp.14854-14862.

[10] Seabra A.B., et al., "Antimicrobial applications of superparamagnetic iron oxide nanoparticles: Perspectives and challenges. In *Nanostructures for Antimicrobial Therapy*", Elsevier, pp. 531-550 (2017).

[11] Dimopoulos T., "All-oxide solar cells", *The future of semiconductor oxides in next-generation solar cells* (2018) pp.439-480.

[12] Taghizadeh S.M., et al. "New Perspectives on Iron-Based Nanostructures", *Processes*, 8(9), (2020) p.1128.

[13] Li L., et al., "The influence of the hydrothermal temperature and time on morphology and photoelectrochemical response of α -Fe₂O₃ photoanode", *Journal of Alloys and Compounds*, 696, (2017) pp.980-987.

[14] Shekofteh-Gohari et al. "Magnetically separable nanocomposites based on ZnO and their applications in photocatalytic processes: a review", *Critical reviews in environmental science and technology*, 48(10-12) (2018) pp.806-857.

[15] da Trindade L.G., et al. "Preparation and characterization of hematite nanoparticles-decorated zinc oxide particles (ZnO/Fe₂O₃) as photoelectrodes for solar cell applications", *J Mater Sci* 55, (2018) pp. 2923-2936.

[16] Sett A., Dey et al. "ZnO/gamma -Fe₂O₃ Heterostructure Toward High-Performance

نانوکامپوزیت‌های ZnO/Fe₂O₃ با درصد‌های وزنی متفاوت α -Fe₂O₃ به روش گرمایی سنتز شدند. الگوهای XRD نمونه‌ها تشکیل ساختار ششگوشی اکسید روی و اکسید آهن را تأیید کردند. با افزایش نسبت اکسید آهن، اندازه متوسط بلورک‌های ZnO در نمونه‌های نانوکامپوزیت کاهش و اندازه متوسط بلورک‌های α -Fe₂O₃ افزایش می‌یابد. بررسی تصاویر FESEM نشان داد که نانوذرات کروی Fe₂O₃ بر سطح نانورقه‌های ZnO قرار گرفته‌اند. طیف‌های جذب نمونه‌ها نشان داد که با افزایش مقدار اکسید آهن، جابه‌جایی قرمز افزایش یافته و جذب نور به سمت ناحیه مرئی گسترش می‌یابد. براساس رابطه تاوک، گاف نواری نمونه‌ها محاسبه شد و نتایج نشان دادند که با افزایش غلظت Fe₂O₃، گاف نواری نمونه‌های نانوکامپوزیت نسبت به ZnO خالص کاهش می‌یابد. بررسی طیف‌های PL نشان داد که شدت قله‌های ناشی از نقص‌های بلوری در نانوکامپوزیت‌ها با افزایش مقدار Fe₂O₃ کاهش می‌یابد که می‌تواند ناشی از کاهش نقص‌های بلوری باشد. بررسی منحنی‌های پسماند مغناطیسی برای نانوکامپوزیت‌ها نشانگر رفتار فرومغناطیسی آن‌هاست که با افزایش مقدار Fe₂O₃، مشخصه‌های پارامترهای مغناطیسی افزایش می‌یابد.

قدردانی

مولف‌ها از معاونت پژوهشی دانشگاه صنعتی شاهرود به خاطر حمایت از انجام این پژوهش تشکر می‌نمایند.

مراجع

[1] Theerthagiri J., et al., "A review on ZnO nanostructured materials: energy, environmental and biological applications", *Nanotechnology*, 30(39), p.392001

[2] Zhang J., et al., " α -Fe₂O₃ nanospindles loaded with ZnO nanocrystals: Synthesis and improved gas sensing performance", *Crystal Research and Technology*, 49(7) (2014) pp. 452-459.

[3] Rahmah M.I., et al., "Synthesis and study photocatalytic activity of Fe₂O₃ doped ZnO nanostructure under visible light irradiation", *International Journal of Environmental Analytical Chemistry*, 101(15) (2015), pp.2598-2611.

[4] Coleman V.A., et al., "Basic properties and applications of ZnO. In *Zinc oxide bulk*,

- [25] Khezami L., et al. "Dependence of phase distribution and magnetic properties of milled and annealed ZnO/Fe₂O₃ nanostructures as efficient adsorbents of heavy metals", Journal of Materials Science: Materials in Electronics, 30(10) (2019) pp.9683-9694.
- [26] Van Duy et al., "Facile Hydrothermal Synthesis of Two-Dimensional Porous ZnO Nanosheets for Highly Sensitive Ethanol Sensor", Journal of Nanomaterials (2019).
- [27] Noruozi A. et al. "Preparation, characterization, and investigation of the catalytic property of α -Fe₂O₃-ZnO nanoparticles in the photodegradation and mineralization of methylene blue", Chemical Physics Letters, 752 (2020) pp.137587.
- [28] Mirzaie R.A., et al "Effect of α -Fe₂O₃ addition on the morphological, optical and decolorization properties of ZnO nanostructures", Materials Chemistry and Physics, 133(1) (2012) pp.311-316.
- [29] Yadav R.S., et al., "Structural, magnetic, optical, dielectric, electrical and modulus spectroscopic characteristics of ZnFe₂O₄ spinel ferrite nanoparticles synthesized via honey-mediated sol-gel combustion method", Journal of Physics and Chemistry of Solids, 110 (2017) pp.87-99.
- [30] Sett A., et al. "ZnO/gamma-Fe₂O₃ Heterostructure Toward High-Performance Acetone Sensing", IEEE Sensors Journal, 19(19), (2019) pp.8576-8582.
- [31] Shaohua Shen et al. "Surface Tuning for Promoted Charge Transfer in Hematite Nanorod Arrays as Water-Splitting Photoanodes. Nano Res", 5(5) (2012) pp. 327-336.
- [32] Długosz O., et al "Synthesis of Fe₃O₄/ZnO nanoparticles and their application for the photodegradation of anionic and cationic dyes", International Journal of Environmental Science and Technology, 18(3) (2021) pp.561-574.
- Acetone Sensing", IEEE Sensors Journal, 19(19), (2019) pp.8576-8582.
- [17] Dhiman P., et al. "Rapid visible and solar photocatalytic Cr (VI) reduction and electrochemical sensing of dopamine using solution combustion synthesized ZnO-Fe₂O₃ nano heterojunctions: mechanism elucidation", Ceramics International,. 46(8), (2020) pp. 12255-12268.
- [18] Bu X., et al. "Facile synthesis of flower-like ZnO@ Fe₂O₃ hierarchical nanostructures with enhanced catalytic activity on the thermal decomposition of ammonium perchlorate", Materials Letters, 219 (2018) pp.33-36.
- [19] Yu Liu , et al., " γ -A magnetically separable photocatalyst based on nest-like Fe₂O₃/ZnO double-shelled hollow structures with enhanced photocatalytic activity", Nanoscale, 4, 183-187.
- [20] Rahmah M.I., et al. "Synthesis and study photocatalytic activity of Fe₂O₃-doped ZnO nanostructure under visible light irradiation", International Journal of Environmental Analytical Chemistry, 101(15), (2021) pp.2598-2611.
- [21] Achouri F., et al. "Aqueous synthesis and enhanced photocatalytic activity of ZnO/Fe₂O₃ heterostructures", Journal of Physics and Chemistry of Solids, 75(10) (2014) pp.1081-1087.
- [22] Ordon K., "Functionalized semiconducting oxides based on bismuth vanadate with anchored organic dye molecules for photoactive applications (Doctoral dissertation, Le Mans) (2018).
- [23] Zaman F.U., et al. "MOFs Derived Hetero-ZnO/Fe₂O₃ Nanoflowers with Enhanced Photocatalytic Performance towards Efficient Degradation of Organic Dyes", Nanomaterials (Basel, Switzerland), 11(12) (2021).
- [24] Yang Y., et al. "The study on degradation and separation of RhB under UV light by magnetically ZnO/Fe₂O₃ nanoparticles. physica status solidi (a), 215(23) (2018) pp.1800416.